

## ВИЗНАЧЕННЯ ДОВГОВІЧНОСТІ ПЛАСТИН З СИСТЕМАМИ ТРІЩИН В УМОВАХ ДІЇ ДОВГОТРИВАЛОГО СТАТИЧНОГО РОЗТЯГУ І НИЗЬКОТЕМПЕРАТУРНОГО ПОЛЯ

*Сформульовано розрахункову модель для визначення довговічності пластини з системою тріщин за довготривалих статичних навантажень в умовах дії низькотемпературного поля. Розглянуто конкретні випадки системи двох і двоперіодичної системи тріщин.*

**Вступ.** В основі будь-якої кількісної теорії лежать математичні моделі, які описують досліджуваний процес в рамках основних його параметрів. Процес сповільненого руйнування елементів конструкцій за довготривалого статичного навантаження розділяється на дві стадії: стадія зародження тріщини повзучості і стадія її докритичного росту. Відомі в літературі [3, 4, 6, 10, 11, 13] дослідження руйнування матеріалів і елементів конструкції за механізмом низькотемпературної або високотемпературної повзучості в основному зводилися до першої стадії, що ототожнювалося з вичерпанням їх ресурсу.

Як свідчать результати натурних обстежень елементів конструкцій, під час експлуатації їх елементи містять дефекти типу тріщин, що утворилися в результаті їх виготовлення або експлуатації [1, 5, 7]. Руйнування таких елементів за довготривалого статичного навантаження може проходити шляхом поширення тріщин повзучості. Для випадків поширення тріщин високотемпературної повзучості на сьогодні уже відомо [2, 6, 8, 12] ряд теоретичних підходів для визначення періоду їх докритичного росту. Однак для інженерної практики важливими також є розрахунки довговічності елементів конструкцій з тріщинами за довготривалого статичного навантаження і звичайних (кімнатних) або низьких температур, коли вичерпання їх ресурсу проходить шляхом поширення тріщин низькотемпературної повзучості. Тому в цій роботі розроблена розрахункова математична модель для визначення періоду докритичного росту тріщин низькотемпературної повзучості в матеріалах з використанням сформульованого раніше [2, 8] авторами енергетичного підходу.

**Випадок однієї тріщини в пластині.** Розглянемо пластину (рис. 1) з прямолінійною тріщиною, яка розміщена вздовж осі  $Ox$  з початком  $O$  у вершині тріщини в умовах дії низькотемпературного поля ( $T < 0.5T_p$  [10], тобто температура  $T$  елемента конструкції менша від половини температури  $T_p$  плавлення його матеріалу).

Довготривалі зусилля  $F$  прикладені до пластини так, що у пластині утворюється напружено-деформований стан, симетричний відносно осі  $Ox$ , а на продовженні тріщини біля її вершини виникають пластичні зони (зони передруйнування), у яких і буде мати місце явище низькотемпературної повзучості. Задача полягає у визначенні такого часу  $t = t_*$ , після досягнення якого довжина тріщини досягне критичної величини  $l = l_*$  і пластина зруйнується.

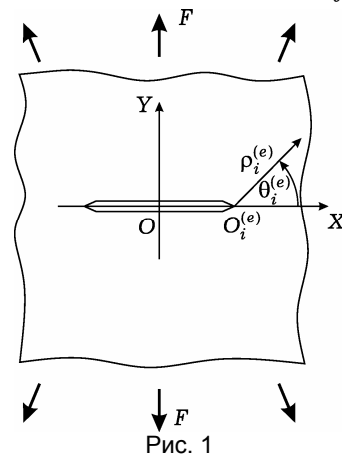


Рис. 1

При розв'язанні задачі поступаємо аналогічно, як у [2, 8]. Вважаючи, що поширення тріщини проходить стрибками, подамо функцію енергії деформування тіла у вигляді двох складових – енергії деформування тіла

при інкубаційному періоді до стрибка тріщини і енергії деформування тіла внаслідок її стрибка. Швидкість росту тріщини можна визначити усередненням відношення довжини її стрибка до часу інкубаційного періоду. На основі цього і рівняння балансу швидкостей зміни енергій аналогічно, як у [2, 8], отримуємо таке рівняння для визначення швидкості росту макротріщини низькотемпературної повзучості:

$$V = \frac{\partial[W + A]}{\partial t} \frac{1}{\gamma_f - \gamma_t}. \quad (1)$$

Тут  $W(t)$  – частина енергії пластичних деформацій в результаті повзучості, яка виділяється при постійній довжині тріщини під час інкубаційного періоду підготовки її стрибка  $\Delta \ell_c$ , залежить тільки від часу  $t$  і генерується самим тілом;  $A$  – робота зовнішніх сил;  $\gamma_f = \sigma_t \delta_c$  – питома енергія руйнування при поширенні тріщини повзучості;  $\gamma_t = \sigma_t \delta_t(0, t)$  – питома робота пластичних деформацій в зоні передруйнування;  $\delta_t(0, t)$  – біжуче розкриття тріщини в її вершині при усередненому напруженні  $\sigma_t$  в зоні передруйнування;  $\delta_c$  – критичне значення  $\delta_t(0, t)$ ;  $\sigma_t$  визначаємо як середнє значення між границею міцності  $\sigma_s$  і границею пластичності  $\sigma_{0.2}$ , тобто  $\sigma_t = (\sigma_s + \sigma_{0.2})/2$ .

При визначенні енергетичної складової  $W(t)$  необхідно побудувати залежність деформаційної величини  $\delta_t(x, t)$  від часу  $t$ , врахувавши, що в зоні передруйнування проходить процес низькотемпературної повзучості. Як відомо [10], при низькотемпературній повзучості і малій величині початкової деформації у визначенні всього періоду повзучості рівнозначними є як перша, так і друга ділянки кривої повзучості. Цим певною мірою і відрізняється запропонований підхід від аналогічного [2, 8] для високотемпературної повзучості, де весь період повзучості наближено замінювали другим періодом повзучості, тобто періодом усталеної повзучості. У зв'язку з цим, а також з використанням результатів [2, 8, 10, 13] зміну величини  $\delta_t(x, t)$  в часі можемо аналітично подати так:

$$\delta_t(x, t) = \delta_0 + a_2 t + a_1 \ln[(1 + t)/t_1]. \quad (2)$$

Тут  $a_1, a_2, t_1$  – експериментальні характеристики, що не залежать від часу.

Вважаючи, що тріщина макроскопічна (всі процеси в зоні передруйнування біля її вершин описуються коефіцієнтом інтенсивності напружень  $K_I$ ), а також поступаючи подібно, як у [2, 8] при визначенні  $W(t)$  через  $K_I$ , і приймаючи, що  $V < \alpha_0 \delta_c K_I^2 K_C^{-2}$ , рівняння (1) для цього випадку пластини з тріщиною запишемо як

$$V = \frac{d\ell}{dt} \approx \frac{A_{2t} K_C^{-2m} (K_I^{2m} - K_{thc}^{2m})}{1 - K_C^{-2} K_I^2 - A_{1t} K_C^{-2m} (\alpha_0 K_I^2 \sigma_t^{-1} E^{-1})^{-1} (K_I^{2m} - K_{thc}^{2m})}. \quad (3)$$

Тут  $\alpha, A_{it}, m, i = 1, 2$ , – характеристики повзучості, які визначаються із експерименту;  $K_C$  – критичне значення  $K_I$  для тонкої пластини за однократного навантаження;  $K_{thc}$  – значення  $K_I$ , за якого не буде поширення тріщини повзучості (нижнє порогове значення на кінетичній діаграмі росту тріщини повзучості);  $E$  – модуль пружності.

Якщо вважати, що  $V \ll \alpha_0 \delta_c K_I^2 K_C^{-2}$ , то рівняння (3) набуде такого вигляду:

$$V = \frac{d\ell}{dt} \approx \frac{A_{2t} K_C^{-2m} (K_I^{2m} - K_{thc}^{2m}) + 0.5 E K_I^{-2} \partial A / \partial t}{1 - K_I^2 K_C^{-2}}, \quad V \ll \alpha_0 \delta_c K_I^2 K_C^{-2}. \quad (4)$$

Для повноти математичної моделі до рівнянь (3) або (4) потрібно додати (див. [2, 9]) початкову і кінцеву умови:

$$t = 0, \quad \ell(0) = \ell_0, \quad t = t_*, \quad \ell(t_*) = \ell_*, \quad K_I(\ell_*) = K_{CC}. \quad (5)$$

Тут  $K_{CC}$  – критичне значення  $K_I$ , за якого настає руйнування пластини з тріщиною (верхнє порогове значення на кінетичній діаграмі росту тріщини повзучості).

Таким чином, при відомих характеристиках матеріалу  $K_{CC}$ ,  $A_{1t}$ ,  $A_{2t}$ ,  $K_{thc}$ ,  $\sigma_t$ ,  $m$  період докритичного росту тріщин низькотемпературної повзучості в пластині визначається на основі співвідношень (3)–(5).

У випадку поширення тріщини низькотемпературної повзучості у нескінченній пластині при  $\partial A/\partial t \approx 0$  отримаємо на основі аналогічних міркувань рівняння для визначення періоду докритичного росту тріщини низькотемпературної повзучості:

$$V = \frac{d\ell}{dt} \approx \frac{A_{2t} K_C^{-2m} (K_I^{2m} - K_{thc}^{2m})}{1 - K_C^{-2} K_I^2}, \quad V \ll \alpha_0 K_I^2 \sigma_t^{-1} E^{-1}, \quad (6)$$

або

$$V = \frac{d\ell}{dt} \approx \frac{A_{2t} K_C^{-2m} (K_I^{2m} - K_{thc}^{2m})}{1 - K_C^{-2} K_I^2 - A_{1t} K_C^{-2m} (\alpha_0 K_I^2 \sigma_t^{-1} E^{-1})^{-1} (K_I^{2m} - K_{thc}^{2m})}, \quad (7)$$

при початковій і кінцевій умовах (5). Для співвідношення (7) величину  $K_{CC}$ , визначаємо із рівняння

$$1 - K_C^{-2} K_{CC}^2 - A_{1t} K_C^{-2m} (\alpha_0 K_{CC}^2 \sigma_t^{-1} E^{-1})^{-1} (K_{CC}^{2m} - K_{thc}^{2m}) = 0. \quad (8)$$

Для умови  $V \ll \alpha_0 K_I^2 \sigma_t^{-1} E^{-1}$  величина  $K_{CC}$  наближено дорівнює  $K_{CC} \approx K_C$ .

Розв'язуючи рівняння (8) методом послідовних наближень, з точністю до першого наближення отримаємо

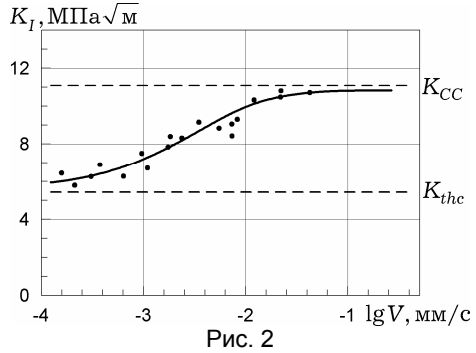
$$K_{CC} \approx K_C [1 - A_{1t} K_C^{-2m} (\alpha_0 K_C^2 \sigma_t^{-1} E^{-1})^{-1} (K_C^{2m} - K_{thc}^{2m})]^{1/2}, \quad K_{CC} \leq K_C. \quad (9)$$

Графічні залежності  $V \sim K_I$ , побудовані за формулами (6), (7) або за експериментальними даними, називають кінетичними діаграмами поширення тріщин повзучості. Експериментально побудовані такі залежності є характеристиками матеріалів і дозволяють разом зі співвідношеннями (6), (7), (5) визначити залишкову довговічність елементів конструкцій за довготривалого статичного навантаження. Для аналітичного опису такої діаграми виберемо найпростішу формулу (6). Порівнюючи (6) з результатами [12], отримуємо  $m \approx 0.7$ ,

$K_{thc} = 5.783 \text{ МПа} \sqrt{\text{м}}$ ,  $A_{2t} \approx 0.013 \text{ м/год}$ ,  $K_{CC} = 11.111 \text{ МПа} \sqrt{\text{м}}$ , а рівняння (6) набуде такого конкретного вигляду:

$$V \approx \frac{4 \cdot 10^{-4} (K_I^{1.4} - 11.661)}{1 - 8 \cdot 10^{-3} K_I^2}. \quad (10)$$

На рис. 2 наведено кінетичні діаграми  $V \sim K_I$  поширення тріщини повзучості в полімерному композиційному матеріалі згідно з експериментальними даними роботи [12] (позначено кружечками) і обчислену за формулою (10) (суцільна крива).



**Постановка задачі у випадку пластини із системою тріщин.** Розглянемо пластину, послаблену системою  $m$  макроскопічних тріщин та піддану дії низькотемпературного поля і довготривалих статичних зусиль, точки прикладання яких достатньо віддалені від контурів тріщини і які характеризуються силовим параметром  $F$ . Нехай конфігурація пластини і геометричне розміщення тріщин визначаються лінійними параметрами  $a_1, \dots, a_n$ , а геометрична конфігурація кожної тріщини – параметрами  $b_1, \dots, b_m$ .

В  $e$ -й вершині кожної тріщини  $L_i$  виберемо локальну систему координат  $O_i^{(e)} \rho_i^{(e)} \theta_i^{(e)}$  (рис. 1) і позначимо через  $\Delta \ell_i^{(e)}$  приріст  $i$ -ї тріщини відповідно на її кінцях ( $e = 1, 2$ ). Задача полягає у визначенні такого часу  $t = t_*$ , після досягнення якого довжина однієї з тріщин  $L_k$  досягне критичного значення  $\ell_k = \ell_{k*}$  і пластина зруйнується.

Для реалізації такої задачі зробимо узагальнення на такий випадок наведеного вище енергетичного підходу, а також скористаємося відомою [2, 8] гіпотезою, що поширення тріщин повзучості буде проходити у напрямку максимально можливих їх швидкостей. В результаті цього задачу зведемо до розв'язання такої системи диференціальних рівнянь:

$$\frac{d\ell_i^{(e)}}{dt} = \frac{W_i^{(e)}}{\gamma_{ic} - \gamma_{it}}, \quad \frac{\partial}{\partial \theta_i^{(e)}} \left[ \frac{W_i^{0(i)}}{\gamma_{ic}^{(e)} - \gamma_{it}^{(e)}} \right]_{\theta_i^{(e)} = \theta_{it}^{(e)}} = 0 \quad (11)$$

за початкових

$$t = 0, \quad \ell_i^{(e)}(0) = \ell_{i0}^{(e)} \quad (12)$$

та кінцевих умов

$$t = t_*, \quad \ell_k^{(e)}(t_*) = \ell_{k*}^{(e)}, \quad \gamma_{kt}^{(e)}(\ell_{k*}^{(e)}) = \gamma_{kc}^{(e)}, \quad (13)$$

$$\max_i [\gamma_{it}^{(e)}(\ell_{i*}^{(e)})(\gamma_{ic}^{(e)})^{-1}] = \gamma_{kt}^{(e)}(\ell_{k*}^{(e)})(\gamma_{kc}^{(e)})^{-1}, \quad i = 1, \dots, m, \quad e = 1, 2.$$

Тут  $W_i^{(e)}$  – робота пластичних деформацій розтягу у зоні передруйнування біля вершин тріщини  $L_i$ , які генерує саме тіло [2, 8];  $\gamma_{ic}^{(e)}$  – густина енергії руйнування матеріалу біля вершин тріщини  $L_i$ ;  $\gamma_{it}^{(e)}$  – густина дисипації енергії пластичних деформацій у зоні передруйнування біля вершин тріщини  $L_i$ ;  $\theta_{it}^{(e)}$  – значення кутів  $\theta_i^{(e)}$ , що визначають напрямок поширення кінців  $L_i$  тріщини;  $\ell_{i*}^{(e)}$  – критичне підростання  $e$ -го кінця тріщини  $L_i$  при руйнуванні пластини. Згідно з [2, 8], ці величини визначатимемо наближено так:

$$W_i^{(e,s)}(\ell) \int_0^{\ell_{ijp}^{(e,s)}} (\delta_{iI\theta}^{(e,s)}(x) \sigma_{i0t}^{(e,s)} + \delta_{iII\theta}^{(e,s)}(x) \tau_{i0t}^{(e,s)}) dx - \gamma_{ithc}^{(e,s)},$$

$$\delta_{iIt}^{(e)} = \frac{(K_{iI\theta}^{(e)})^2}{2E \sigma_{i0t}^{(e)}}, \quad \gamma_{ic}^{(e)} = \delta_{ic}^{(e)} \sigma_{i0c}^{(e)} = \frac{K_{CC}^2}{E}, \quad \gamma_{it}^{(e)}(\ell) = \delta_{it}^{(e)} \sigma_{it}^{(e)} = \delta_{iIt}^{(e)} \sigma_{i0t}^{(e)} + \delta_{iII\theta}^{(e)} \tau_{i0t}^{(e)},$$

$$\delta_{iII\theta}^{(e)} = \frac{(K_{iII\theta}^{(e)})^2}{2E \tau_{i0t}^{(e)}}, \quad \ell_{iIp}^{(e)} = \frac{(K_{iI\theta}^{(e)})^2}{4(\sigma_{i0t}^{(e)})^2}, \quad \ell_{iIIp}^{(e)} = \frac{(K_{iII\theta}^{(e)})^2}{4(\tau_{i0t}^{(e)})^2}, \quad j = I, II. \quad (14)$$

Тут  $\gamma_{ithc}^{(e)}$  – величина роботи пластичних деформацій в зоні передруйнування біля вершини  $e$   $i$ -ї тріщини, яка не викликає її розкриття;  $\delta_{it}^{(e)}(x)$  – розкриття в зоні передруйнування біля вершини  $e$  тріщини  $L_i$ ;  $\delta_{iI\theta}^{(e)}$ ,  $\delta_{iII\theta}^{(e)}$  –

проекції  $\delta_{it}^{(e)}(x)$  на напрямні орти полярної системи координат  $O_i^{(e)}\rho_i^{(e)}\theta_i^{(e)}$  (рис. 1);  $\sigma_{it}^{(e)}$  – усереднені напруження в зоні переддруйнування біля  $e$ -ї вершини тріщини  $L_i$ ;  $\sigma_c$  – їх критичне значення, яке для ідеально пружно-пластичного матеріалу дорівнює його текучості  $\sigma_T$ ;  $\sigma_{i0t}^{(e)}, \tau_{i0t}^{(e)}$  – відповідні їх проекції;  $K_{iI}^{(e)}, K_{iII}^{(e)}$  – коефіцієнти інтенсивності напружень (КІН) біля  $e$ -ї вершини  $i$ -ї тріщини вздовж лінії її розміщення;  $K_{iI\theta}^{(e)}, K_{iII\theta}^{(e)}$  – аналогічні значення вздовж напрямку під кутом  $\theta$  до дотичної в  $e$ -му кінці  $i$ -ї тріщини;  $\ell_{ijp}^{(e)}$  – розмір зони переддруйнування біля  $e$ -ї вершини тріщини  $L_i$  ( $\ell_{iIp}^{(e)}$  – для тріщини нормального відриву,  $\ell_{iIIp}^{(e)}$  – для тріщини поперечного зсуву).

Проілюструємо цей підхід на прикладах розв’язання конкретних задач.

**Пластина з двома тріщинами.** Розглянемо пластину, яка містить дві рівні колінеарні тріщини вздовж осі  $Ox$  на відрізках  $-b \leq x \leq -a$  і  $a \leq x \leq b$ , знаходиться під дією низькотемпературного поля і довготривалих статичних зусиль  $p$  (рис. 3). При цьому вважаємо, що тріщини макроскопічні, а зовнішні розтягувальні зусилля  $p$  прикладені на нескінченності так, що напружено-деформований стан є симетричним відносно лінії розміщення тріщин, тобто описується в околі їх вершин тільки коефіцієнтом інтенсивності напружень  $K_I$ .

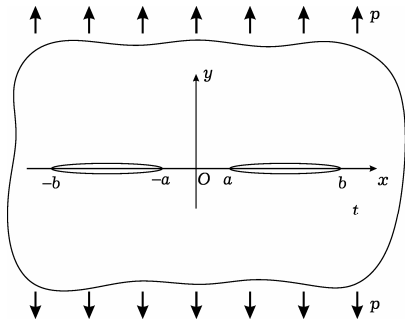


Рис. 3

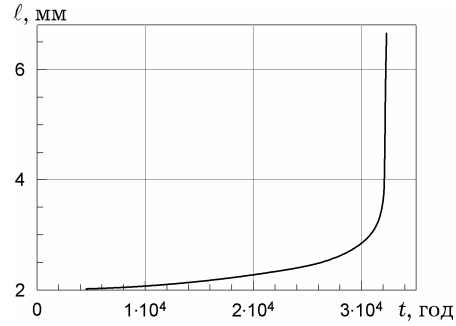


Рис. 4

Задача полягає у визначенні часу  $t = t_*$ , коли в результаті низькотемпературної повзучості тріщини підростуть до критичного розміру  $\ell_* = b_* - a_*$  і пластина зруйнується. Для розв’язку такої задачі використовуємо математичні моделі (6), (5), (11)–(13). З огляду на це для визначення  $t = t_*$  отримаємо такі рівняння:

$$\begin{aligned} \frac{db}{dt} &= A_{2t} K_{CC}^{-2m} [K_{Ib}^{2m}(a, b) - K_{Ibc}^{2m}] [1 - K_{CC}^{-2} K_{Ib}^2(a, b)]^{-1}, \\ \frac{da}{dt} &= A_{2t} K_{CC}^{-2m} [K_{Ia}^{2m}(a, b) - K_{Iac}^{2m}] [1 - K_{CC}^{-2} K_{Ia}^2(a, b)]^{-1} \end{aligned} \quad (15)$$

за початкових і кінцевих умов:

$$\begin{aligned} t = 0, \quad a(0) = a_0, \quad b(0) = b_0, \quad t = t_*, \quad a(t_*) = a_*, \quad b(t_*) = b_*, \\ \max_i [K_{Ia}(a_*, b_*); K_{Ib}(a_*, b_*)] = K_{Ikc}(a_*, b_*), \quad K_{Ikc}(a_*, b_*) = K_{CC}. \end{aligned} \quad (16)$$

Відомо [14], що для розглядуваної задачі коефіцієнти інтенсивності напружень  $K_I$  відповідно біля вершин тріщин  $a$  і  $b$  матимуть вигляд

$$K_{Ia}(b) = \frac{\sqrt{\pi} (1 - \mathbf{E}(k)/\mathbf{K}(k))}{p^{-1} b^{-2} \sqrt{b(b^2 - a^2)}}, \quad K_{Ib}(a) = \frac{\sqrt{\pi} (b^2 \mathbf{E}(k)/(a^2 \mathbf{K}(k)) - 1)}{p^{-1} b^{-2} \sqrt{a(b^2 - a^2)}}, \quad (17)$$

де  $\mathbf{K}(k)$  – повний еліптичний інтеграл першого роду з модулем  $k = \frac{\sqrt{b^2 - a^2}}{b}$ ;  $\mathbf{E}(k)$  – повний еліптичний інтеграл другого роду.

Тоді сформульована вище задача (15), (16) з урахуванням співвідношення (17) і умови  $K_I \gg K_{thc}$  зведеться до такої системи диференціальних рівнянь:

$$\begin{aligned} \frac{db}{dt} &= A_{2t} \left( \frac{\pi p^2 b^3 (1 - \mathbf{E}(k)/\mathbf{K}(k))^2}{(b^2 - a^2) K_{CC}^2} \right)^m \left( 1 - \frac{\pi p^2 b^3 (1 - \mathbf{E}(k)/\mathbf{K}(k))^2}{(b^2 - a^2) K_{CC}^2} \right)^{-1}, \\ \frac{da}{dt} &= -A_{2t} \left( \frac{\pi p^2 b^4 (\mathbf{E}(k)/\mathbf{K}(k) - a^2/b^2)^2}{a(b^2 - a^2) K_{CC}^2} \right)^m \times \\ &\quad \times \left( 1 - \frac{\pi p^2 b^4 (\mathbf{E}(k)/\mathbf{K}(k) - a^2/b^2)^2}{a(b^2 - a^2) K_{CC}^2} \right)^{-1} \end{aligned} \quad (18)$$

з початковими і кінцевими умовами

$$t = 0, \quad a(0) = a_0, \quad b(0) = b_0, \quad t = t_*, \quad a(t_*) = a_*, \quad b(t_*) = b_*. \quad (19)$$

Задамо параметри системи рівнянь (18) для матеріалу пластини з Allow 100 [10] так:

$$\begin{aligned} E &= 1.9 \cdot 10^5 \text{ МПа}, \quad A_1 = 0.059 \text{ м/год}, \quad m = 7.53, \quad K_I \gg K_{thc}, \\ \ell_0 &= 2 \text{ мм}, \quad p = 0.2186 K_{IC}. \end{aligned}$$

Систему диференціальних рівнянь (18) з початковими і кінцевими умовами (19) розв'язуємо чисельно методом Рунге – Кута. На основі цього знайдено, що довговічність пластини з системою компланарних тріщин буде  $t_* = 3.2 \cdot 10^4$  год, а критична довжина тріщин  $\ell_* = 6.6$  мм. Разом з тим на рис. 4 побудовано залежність довжини тріщин  $\ell$  від часу  $t$  її росту. Як бачимо на рис. 4, при наближенні довжини тріщини до  $\ell = \ell_*$  швидкість її росту прямує до нескінченності.

**Пластина з двоперіодичною системою тріщин.** Розглянемо нескінченну пластину, послаблену двоперіодичною системою прямокутних тріщин довжини  $2\ell$ , центри яких розміщені у вузлах квадратної решітки зі стороною  $d$  (рис. 5).

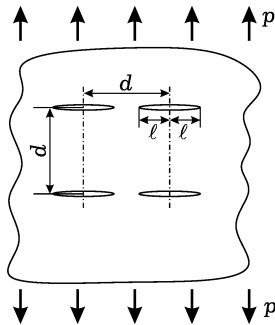


Рис. 5

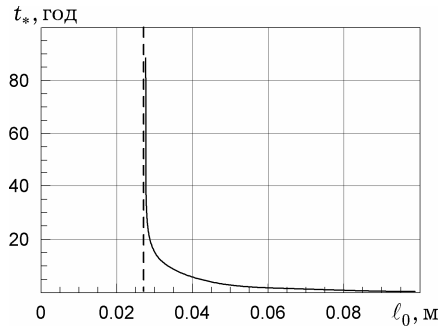


Рис. 6

Вважаємо, що пластина в умовах дії низькотемпературного поля розтягується на нескінченності рівномірно розподіленими зусиллями інтенсивності  $p$ , направленими перпендикулярно до ліній розміщення тріщин. Задача полягає у визначенні часу  $t = t_*$ , коли довжина тріщин в результаті низькотемпературної повзучості підросте до критичного розміру  $\ell(t_*) = \ell_*$  і відбудеться руйнування пластини. На основі викладеного вище задача зведеться до розв'язання такого диференціального рівняння:

$$V = \frac{d\ell}{dt} \approx \frac{A_{2t} K_{CC}^{-2m} (K_I^{2m} - K_{thc}^{2m})}{1 - K_{CC}^{-2} K_I^2}. \quad (20)$$

Для визначення періоду докритичного росту тріщини  $t = t_*$  до рівняння (20) додаємо початкову і кінцеву умови:

$$t = 0, \quad \ell(0) = \ell_0, \quad t = t_*, \quad \ell(t_*) = \ell_*, \quad K_I(p, \ell_*) = K_{CC}. \quad (21)$$

На основі результатів роботи [14] коефіцієнт інтенсивності напружень  $K_I$  для цього випадку будемо визначати як

$$K_I = p(\pi\ell)^{1/2} (1 + 8.77 \cdot 10^{-2} \pi\lambda^2 + 3.79 \cdot 10^{-3} \pi^2\lambda^4 - 2.6 \cdot 10^{-3} \pi^3\lambda^6 + O(\lambda^8)), \quad \lambda = 2\ell d^{-1}. \quad (22)$$

Вважаємо, що пластина виготовлена із полімерного композиційного матеріалу, для якого кінетична діаграма поширення тріщини низькотемпературної повзучості описується рівнянням (10) при  $d = 0.3$  м,  $p = 19.8$  МПа. Тоді період  $t = t_*$  докритичного росту тріщин низькотемпературної повзучості буде визначатися формулою

$$t_* = 2500 \int_{\ell_0}^{0.10} \frac{1 - 8 \cdot 10^{-3} K_I^2}{(K_I^{1.4} - 11.661)} d\ell. \quad (23)$$

За допомогою співвідношення (23) на рис. 6 побудовано графічну залежність залишкового ресурсу  $t = t_*$  пластини, послабленої двоперіодичною системою тріщин від початкової довжини тріщини  $\ell_0$ . Як бачимо на рис. 6, залишкова довговічність пластини  $t_*$  істотно залежить від початкового розміру тріщини  $\ell_0$ .

**Висновки.** За допомогою раніше сформульованого авторами енергетичного підходу побудовано математичну модель для визначення періоду докритичного росту тріщин низькотемпературної повзучості в пластинах. На її основі розраховано залишковий ресурс пластин з системою двох тріщин та двоперіодичною системою тріщин за довготривалого статичного розтягу та низькотемпературного поля.

1. *Андрейкив А. Е.* Пространственные задачи теории трещин. – Киев: Наук. думка, 1982. – 348 с.
2. *Андрейкив О. Є., Сас Н. Б.* Математична модель для визначення періоду докритичного поширення тріщин високотемпературної повзучості в твердих тілах // Доп. НАН України. – 2006. – № 5. – С. 47–52.
3. *Каминский А. А.* Механика разрушения вязкоупругих тел. – Киев: Наук. думка, 1980. – 157 с.
4. *Лепин Г. Ф.* Ползучесть металлов и критерии жаропрочности. – Москва: Металлургия, 1976. – 375 с.
5. *Панасюк В. В., Андрейкив О. Є., Партон В. З.* Основы механики разрушения. – Киев: Наук. думка, 1988. – 488 с.
6. *Тайра С., Отани Р.* Теория высокотемпературной прочности материалов. – Москва: Металлургия, 1986. – 280 с.
7. *Черепанов Г. П.* Механика хрупкого разрушения. – Москва: Наука, 1974. – 640 с.
8. *Andreikiv O. Ye., Sas N. B.* Fracture mechanics of metal plates under high-temperature creep // Mater. Sci. – 2006. – 42, No. 2. – P. 210–219.  
Те саме: *Андрейкив О. Є., Сас Н. Б.* Механіка руйнування металевих пластин за високотемпературної повзучості // Фіз.-хім. механіка матеріалів. – 2006. – 42, № 2. – С. 62–68.
9. *Fuji A., Kitagawa M.* A comparison of creep crack growth behaviour in nickel based super alloy with low alloy steel // Advances in Fracture Resistance and Structural Integrity: Selected papers from the 8<sup>th</sup> Int. Conf. on Fracture (ICF-8), 1993. – Pergamon, 1994. – P. 487–495.

10. *Garofalo F.* Fundamentals of creep and creep-rupture in metals. – New York – London: Macmillan Company, 1970. – 343 p.
11. *Jakowluk A.* Procesy pełzania i zmęczenia w materiałach. – Warszawa: Wyd-wo nauk.-techn., 1993. – 271 s.
12. *Kaminsky A. A.* Subcritical crack growth in polymer composite materials under creep // *Advances in Fracture Resistance and Structural Integrity: Selected papers from the 8<sup>th</sup> Int. Conf. on Fracture (ICF-8), 1993.* – Pergamon, 1994. – P. 513–520.
13. *Nadai A.* Theory of flow and fracture of solids. – New York, Toronto and London: McGraw Hill, 1950–1953. – 705 p.
14. *Stress intensity factors handbook: In 2 Vol. / Ed. Yu. Murakami.* – Oxford: Pergamon Press, 1987. – XLIX, XXXIX + 1456 p.

**ОПРЕДЕЛЕНИЕ ДОЛГОВЕЧНОСТИ ПЛАСТИН С СИСТЕМАМИ ТРЕЩИН В УСЛОВИЯХ ДЕЙСТВИЯ ДОЛГОВРЕМЕННОГО СТАТИЧЕСКОГО РАСТЯЖЕНИЯ И НИЗКОТЕМПЕРАТУРНОГО ПОЛЯ**

*Сформулирована расчетная модель для определения долговечности пластины с системой трещин при долговременных статических нагрузках в условиях действия низкотемпературного поля. Рассмотрены конкретные случаи системы двух и двоякопериодической системы трещин.*

**DETERMINATION OF DURABILITY OF PLATES WITH SYSTEM OF CRACKS UNDER ACTION OF PROLONGED STATIC TENSION AND LOW-TEMPERATURE FIELD**

*The computational model to determine the durability of the plate with a system of cracks under the prolonged static loads and the low-temperature field is formulated. The concrete cases of two and doubly periodic system of cracks are considered.*

<sup>1</sup> Фіз.-мех. ін-т ім. Г. Карпенка, Львів,

<sup>2</sup> Львів. нац. ун-т імені Івана Франка, Львів,

<sup>3</sup> Луцьк. нац. техн. ун-т, Луцьк

Одержано  
21.05.11